

# 외부 가속기를 이용한 Kyber 역캡슐화에 관한 연구

류지은, 강주성, 염용진\*

국민대학교

{ofryuji, jskang, \*salt}@kookmin.ac.kr

## A Study on Kyber Decapsulation Using an External Accelerator

Jieun Ryu, Ju-sung Kang, Yongjin Yeom\*

Kookmin Univ.

### 요약

본 논문은 저사양 단말의 인증에 양자내성암호 Kyber을 사용할 때 외부 가속기로써 외부 단말을 활용하는 모델을 제시한다. 또한, Kyber을 이용한 인증 절차에서 저사양 단말이 수행하는 복호화(decapsulation) 연산 중 단말 외부로 누출되면 안되는 키가 입력으로 사용되는 함수인  $NTT^{-1}$  연산을 외부 단말에 요청하기 앞서 키를 인코딩하는 방식을 제안하고 실효성을 분석한다.

### I. 서론

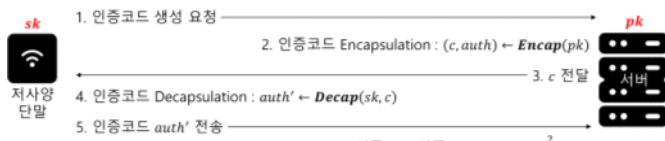
최근 양자컴퓨팅 기술이 발전함에 따라 인증 체계에 사용되는 기존 암호 알고리즘에 대한 양자내성암호(post-quantum cryptography, PQC)로의 전환에 이뤄지고 있다[1]. 이는 일반적인 PC 환경에 국한된 것이 아닌 IoT, 클라우드 등 다양한 환경을 고려하며, 특히 저사양 환경에 PQC를 적용하기 위한 최적화 구현 및 가속기 구현에 관한 연구가 다수 수행되었다. 하지만, 가속기를 적용할 수 없는 저사양 환경에서 PQC를 구동하는 것은 여전히 어렵다.

본 논문에서는 미국의 PQC 표준 알고리즘 중 저사양 단말 환경에 가장 적합한 Kyber를 대상으로 인증 연산 모델을 설정하고, 성능 문제를 해결하기 위해 외부 가속기를 활용하는 방식을 제안한다. 특히, Kyber 연산 중 가장 많은 연산량을 요구하는  $NTT$ (Number Theoretic Transform)를 외부 가속기로 연산하는 방식을 제시하고 PC 환경에서의 구현을 통해 제안 방식의 실효성을 예측한다.

### II. 저사양 환경을 위한 NTT 연산의 분할

#### i. Kyber를 이용한 인증 방식

Kyber는 2022년 PQC 표준인 ML-KEM으로 선정된 키 설정(key establishment) 알고리즘이다[2]. 이는 키를 공유하기 위한 목적으로 개발되었으나, <그림 1>과 같은 방식으로 변형하여 단말 및 단말 소유자에 대한 사용자 인증에도 활용할 수 있다. 이때, Kyber의 캡슐화(encapsulation) 함수의 출력값  $auth$ 는  $Encap(pk)$ 의 내부 연산 중 랜덤하게 생성한 데이터에 대한 해시값(hash value)이며, 역캡슐화(decapsulation) 함수에 입력되는  $sk$ 가  $pk$ 에 대응되는 올바른 키인 경우  $Decap(sk, c)$ 의 출력값  $auth'$ 은  $auth$ 와 동일하다.  $sk$ 와  $pk$ 는 사전 생성 및 공유되는 키로 반복 사용 가능하다.

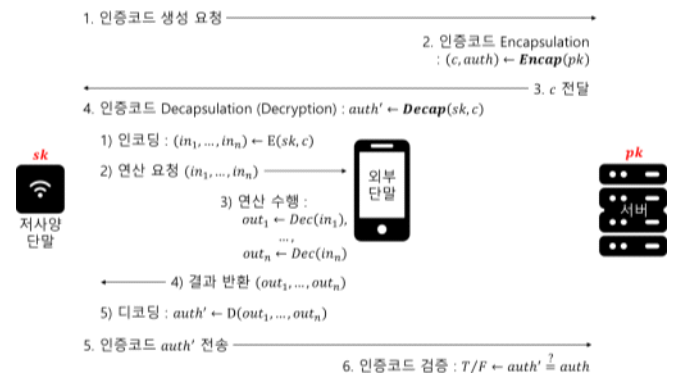


<그림 1> Kyber를 활용한 저사양 단말의 사용자 인증 절차

저사양 단말에서 수행되는 역캡슐화 연산은 암호문  $c$ 를 복호화하는 Decryption과 검산을 위한 Encryption으로 구성된다. 이 중 Encryption은 생략하더라도  $auth'$ 을 구하는 데 영향을 미치지 않는다. 본 논문에서는 저사양 단말이 Encryption을 수행하기에 열악한 환경이라는 점을 고려하여 이를 생략한다.

한편, IC chip과 같은 저사양 단말은 외부 가속기로써 외부 단말의 연산 능력을 활용하여 계산량이 많은 연산을 가속 구현할 수 있다[3]. 이때 외부 가속기는 암호 경계(cryptographic boundary)에 속하지 않는 신뢰할

수 없는 영역으로 간주한다. 따라서 외부 단말이 저사양 단말 내부에 저장된  $sk$  및 기타 비밀 정보를 탈취할 수 없도록 막아야 하며, 이를 위해 저사양 단말은 외부 단말에 연산을 요청하기에 앞서 요청 데이터에 인코딩(encoding)을 적용해야 한다. <그림 2>는 외부 단말이 추가된 저사양 단말의 사용자 인증 절차이다.



<그림 2> 외부 단말이 추가된 저사양 단말의 사용자 인증 절차

#### ii. Kyber 복호화 중 외부 가속기 활용 가능성 분석

Kyber 역캡슐화 절차는 <알고리즘 1>과 같다.

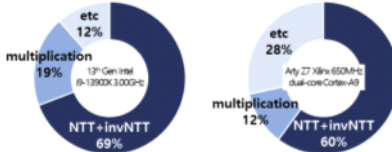
##### <알고리즘 1> 역캡슐화 $Decap(sk, c)$

1.  $\hat{s}, h \leftarrow sk$  //  $sk = \hat{s} \parallel h$
2.  $u', v' \leftarrow c$  //  $c = u' \parallel v'$
3.  $\hat{u} \leftarrow NTT(u')$
4.  $w' \leftarrow NTT^{-1}(\hat{s}^T \circ \hat{u})$
5.  $w \leftarrow v' - w'$
6.  $m' \leftarrow Encode(Compress(w))$
7.  $auth' \leftarrow Hash(m' \parallel h)$
8. return  $auth'$

우선 단계 1은 누출되면 안되는  $sk$ 에 관한 연산이므로 외부 단말에 연산을 요청하면 안 되는 단계이다. 단, 저사양 단말에  $sk$ 를 저장해둔 후 반복 사용할 수 있으므로 단계 1은 연산 속도에 영향이 없다. 단계 2와 3은  $c$ 가 공개된 값이므로 외부 단말에서 저사양 단말과 관계없이 수행 가능하다.

단계 4에서  $NTT^{-1}$ 의 입력은 단계 1에서 저사양 단말에 저장된 키  $sk$ 로부터 유도된  $\hat{s}$ 를 포함한다. 이는 외부로 유출되면 안 되는 비밀 값이므로 외부 단말에 연산을 요청하기에 앞서 반드시 인코딩되어야 한다. 또한, 단계 4 이후 수행되는 연산의 값이 누출되면 공개된 값인  $u'$ 와 단계 4~6 함수의 선형성에 의해  $\hat{s}$ 이 유도되므로 해당 단계의 값에 대한 연산을 외부 단말에 요청할 경우, 모든 변수에 대한 인코딩을 적용해야 한다.

<그림 3>과 같이, 저사양 단말이 수행하는 역캡슐화 연산에서 가장 연산량이 많은 함수는  $NTT$  와  $NTT^{-1}$ 이다. 따라서 해당 연산을 외부 단말에 요청하여 처리할 수 있다면 연산 속도가 크게 향상될 것을 기대할 수 있다.



<그림 3> 역캡슐화의 Decryption 구성 함수별 연산 소요 시간 비율

### III. 인코딩된 $NTT^{-1}$ 연산 방식에 대한 분석

저사양 단말의 경우, 외부 단말에 함수 연산을 요청할 때 감소하는 인증 연산 시간이 통신량 증가로 느려지는 인증 시간보다 짧아 역캡슐화 성능을 저해하는 문제가 발생할 수 있다. 덧셈, 뺄셈 및 비트 연산은 위 같은 문제를 촉발하므로 외부 단말에 연산 요청을 하지 않고 저사양 단말 내부에서 연산해야 한다. 따라서 <알고리즘 1>에서 외부 단말에 요청할 연산은 단계 2~4이다.

#### i. 안전성 분석

본 절에서는  $NTT^{-1}$ 에 대한 인코딩 방식을 제안하고, 전수조사 공격 측면에서 대략적인 안전성을 제시한다. 앞서 언급한 것과 같이 단계 4는 외부 단말에 연산을 요청하기 앞서 입력에 대한 인코딩이 요구된다.  $\hat{u}$ 는 공개된 값을 사용하여 결정론적(deterministic) 연산을 수행한 결과이므로 인코딩하지 않는다.

$NTT^{-1}$ 는 선형 연산이므로 입력  $x = x_1 + \dots + x_n$  와 상수  $a_1, \dots, a_n$ 에 대하여 다음 식이 성립한다.

$$NTT^{-1}(x) = \frac{1}{a_1} NTT^{-1}(a_1 x_1) + \dots + \frac{1}{a_n} NTT^{-1}(a_n x_n)$$

따라서  $\hat{s}$ 을 다음과 같이  $(x_1, \dots, x_{n+l})$ 로 인코딩한다. 이때,  $n$ 과  $l$ 은 주어진 범위 내에서 랜덤(random)하게 선택한다.

$$\begin{aligned} (\hat{s}_1, \dots, \hat{s}_{n-1}) &\leftarrow \$ R_q, \quad \hat{s}_n = \hat{s} - \sum_{i=1}^{n-1} \hat{s}_i, \\ (a_1, \dots, a_n) &\leftarrow \$ Z, \quad (\hat{d}_1, \dots, \hat{d}_l) \leftarrow \$ R_q \\ (x_1, \dots, x_{n+l}) &\leftarrow \text{Shuffle}(a_1 \hat{s}_1, \dots, a_n \hat{s}_n, \hat{d}_1, \dots, \hat{d}_l) \end{aligned}$$

이때,  $R_q$ 는 입력의 Kyber가 정의되는 다항식 환(polynomial ring)이며,  $\leftarrow \$$ 는 랜덤하게 선택함을 의미한다.  $d_i$  ( $i=1, \dots, l$ )는 공격자의 연산량을 증가시키기 위하여 추가된 더미(dummy) 데이터이다.

위 인코딩 기법에 대하여  $\hat{s}$ 를 복구하길 바라는 공격자의 전수조사 공격 연산량은 다음과 같다. 상수  $a_1, \dots, a_n$ 는 공격자가 시도해야 하는  $NTT^{-1}$  연산량을 증가시킨다. 공격자는  $\{a_i \hat{s}_i\}_{i=1, \dots, n}$  으로부터  $\sum_{i=1}^n \hat{s}_i$ 를 구해야 하는데,  $a_i \in Z$  가  $\hat{s}_i \in R_q$  와 무관하게 선택되므로 공격자는 모든  $a_i$ 에 대하여  $\frac{1}{a_i} NTT^{-1}(a_i \hat{s}_i)$ 를 시도해야 한다. 가능한  $a_i$ 의 수가  $j$ 라고 할 때, 공격자가  $\{a_i \hat{s}_i\}_{i=1, \dots, n}$ 에 대하여 시도해야 하는  $NTT^{-1}$  연산량은  $O(j^n)$  이다.

또한, 공격자는  $n$ 과  $l$ 을 알 수 없기 때문에  $\hat{s}$ 를 구성하는  $x_i$ 를 구별할 수 없고  $n+l$ 개의  $x_i$ 에 대한 모든 경우를 시도해야 한다. 따라서 제안한 인코딩에 대한  $NTT^{-1}$  전수조사 연산량은 다음과 같다.

$$O(j^{n+l})$$

128-bit 안전성을 만족하는 파라미터 쌍  $(j, n, l)$ 의 예시로 통신량을 줄여야 할 경우 관련 파라미터  $n, j$ 의 크기를 줄인 (256, 14, 2)와 같은 파라미터를 선택할 수 있다. 또한, 인코딩 및 디코딩을 테이블 참조로 사용하는데 테이블을 저장할 메모리가 부족한 경우 (2,96,32)와 같은 파라미터를 선택할 수도 있다.

#### ii. 구현 및 성능 분석

제안한 방식은  $\hat{s}$ 를 분할하고, 반환받은  $NTT^{-1}$  연산 결과를 디코딩 하는 추가 연산이 발생한다. 단, 이는 직접  $NTT^{-1}$ 를 수행하는 것보다 훨씬 적은 연산 시간을 소요할 것으로 예상 가능하다.

또한 Kyber 구현에 필요한 다양한 내부 함수는 반환하는 값의 범위에 조건식 차이가 있으므로, 제안한 인코딩 기법을 구현에 적용할 때 오버플로우(overflow)를 방지하려면 인코딩과 디코딩의 매 단계마다 범위 조정을 위한 reduction 함수를 적용해 주어야 한다. 이때, Kyber의 reduction은 덧셈, 뺄셈 및 비트 연산만으로 수행 가능한 함수이므로, 인증 연산에 부하가 크지 않을 것으로 예상한다.

<표 1>은 제안한 인코딩 및 디코딩을 수행함에 따라  $NTT^{-1}$  연산에 대하여 저사양 단말과 외부 가속기 각각에 추가되는 연산 별 소요 시간을 정리한 것이다. 속도 측정은 127차 다항식  $\hat{s}, \hat{u}$ 를 기준으로  $n=2, l=0$ 이라고 설정하고 진행했다.

저사양 단말			외부 가속기		
$\hat{s}$ 분할	$a_i$ 곱셈	$a_i^{-1}$ 곱셈	$\sum_{i=1}^n NTT^{-1}$	$\hat{s}_i \cdot \hat{u}$	$NTT^{-1}$
35.98	8.33	3.61	4.19	58.23	97.79
52.11			156.02		

<표 1> 인코딩 적용에 따라 추가된 연산의 소요 시간 (ns)

@13th Gen Intel i9-13900K 3.00GHz

$NTT^{-1}$ 를 외부 가속기를 활용하여 연산함에 따라 저사양 단말에 추가되는 연산의 소요 시간은 외부 가속기에서 수행하는 연산 소요 시간의 약 1/3로, 실제 표준 Kyber 파라미터를 적용하면 그 차이가 증가할 것으로 기대된다.

실제 구현 환경에서는 통신량 증가에 따른 성능 저하를 고려하여  $n$ 과  $l$ 을 조정할 수 있으며, 이는 후속 연구를 통해 구체화할 예정이다.

### IV. 결론

본 논문에서는 저사양 단말 환경에서 Kyber로 인증 연산을 수행하기 위해 외부 가속기를 활용하는 모델을 제시하고, 저사양 환경에서 수행되는 역캡슐화 연산의 구현을 위해 NTT를 외부 가속기에서  $sk$  노출 없이 실행하는 방식을 제안하였다. 외부 가속기를 사용할 경우, 역캡슐화의  $NTT^{-1}$  연산 소요 시간이 1/3 이상 줄어들 것으로 예상되므로 해당 모델을 활용하면 IC chip이나 IoT 장비 등의 저사양 단말에서 PQC 인증을 빠르게 수행할 수 있을 것으로 기대된다. 향후 연구에서는 제안한 모델에 대한 구체적인 안전성을 분석하고 인코딩 파라미터 최적화를 진행하고자 한다.

### ACKNOWLEDGMENT

이 논문은 서울시 산학연 협력사업 2025년도 양자 기술개발 지원사업 (QR250002, 양자내성암호 Kyber를 이용한 스마트카드 인증기술 개발)의 지원을 받아 수행된 연구임

### 참 고 문 헌

- [1] Barker W., Polk W. and Souppaya M., "Getting Ready for Post-Quantum Cryptography: Exploring Challenges Associated with Adopting and Using Post-Quantum Cryptographic Algorithms," NIST Cybersecurity White Paper(CSWP) 15, 2021, (<https://doi.org/10.6028/NIST.CSWP.15>)
- [2] National Institute of Standards and Technology (2024) Module-Lattice-Based KeyEncapsulation Mechanism Standard. (Department of Commerce, Washington, D.C.), Federal Information Processing Standards Publication (FIPS) NIST FIPS 203. <https://doi.org/10.6028/NIST.FIPS.203>
- [3] 류지은, 김덕상, 강주성, 염용진, "저사양 스마트카드의 PQC 인증 방안에 관한 연구". 한국통신학회 학술대회논문집, 경북, 2025-11-19